

UNIVERSITÀ DI PAVIA  
 FACOLTÀ DI INGEGNERIA  
 CORSO DI LAUREA IN INGEGNERIA EDILE/ARCHITETTURA  
**Correzione prova scritta**  
 3 febbraio 2011

1. Determinare il trinomio invariante del seguente sistema di vettori applicati:

$$\begin{cases} \mathbf{v}_1 = -3\mathbf{e}_x - 2\mathbf{e}_z & \text{applicato in } P_1 - O \equiv (2, 1, 0), \\ \mathbf{v}_2 = \mathbf{e}_x + 2\mathbf{e}_y + \mathbf{e}_z & \text{applicato in } P_2 - O \equiv (1, 0, 1), \\ \mathbf{v}_3 = 2\mathbf{e}_y - \mathbf{e}_z & \text{applicato in } P_3 - O \equiv (0, 2, 2). \end{cases}$$

Il risultante è  $\mathbf{R} = -2\mathbf{e}_x + 4\mathbf{e}_y - 2\mathbf{e}_z$  mentre il momento risultante rispetto ad  $O$  è  $\mathbf{M}_O = -10\mathbf{e}_x + 4\mathbf{e}_y + 5\mathbf{e}_z$  per cui il trinomio invariante ha valore  $\mathcal{I} = 26$ .

2. Trovare la curvatura della curva

$$p(t) - O = 3(t^2 - 3t + 1)\mathbf{e}_x + (t^2 + 5t - 2)\mathbf{e}_y + \sin t\mathbf{e}_z$$

nel punto corrispondente a  $t = 0$ .

Derivando ripetutamente rispetto al parametro  $t$  abbiamo

$$p'(t) = 3(2t - 3)\mathbf{e}_x + (2t + 5)\mathbf{e}_y + \cos t\mathbf{e}_z \quad p''(t) = 6\mathbf{e}_x + 2\mathbf{e}_y - \sin t\mathbf{e}_z$$

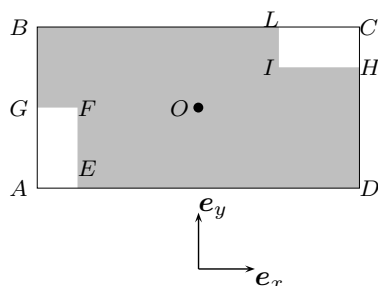
per cui, posto  $t = 0$  si ha

$$p'(0) = -9\mathbf{e}_x + 5\mathbf{e}_y + \mathbf{e}_z \quad p''(0) = 6\mathbf{e}_x + 2\mathbf{e}_y$$

da cui segue  $|p'(0)| = \sqrt{107}$  e  $p'(0) \wedge p''(0) = -2\mathbf{e}_x + 6\mathbf{e}_y - 48\mathbf{e}_z$  da cui si ottiene

$$\kappa = \frac{2\sqrt{586}}{107\sqrt{107}}.$$

3. Da una lamina rettangolare omogenea  $ABCD$  di massa  $3m$  e lati  $AB = 2\ell$  e  $BC = 6\ell$  vengono asportati due rettangoli congruenti  $AEFG$  e  $CHIL$  di lati  $AE = CH = \frac{\ell}{2}$  e  $AG = CL = \ell$ .



Detto  $O$  il centro di massa di  $ABCD$  determinare il momento di inerzia della lamina complessiva rispetto all'asse passante per  $O$ , diretto lungo  $\mathbf{e}_x$ .

È sufficiente sottrarre al momento centrale di inerzia per il rettangolo intero i contributi dei due rettangoli  $AEFG$  ed  $IHCL$  utilizzando il teorema di Huygens-Steiner. Osserviamo che la massa di ciascuno dei rettangoli asportati è pari ad  $m/8$  per cui

$$I_{O, \mathbf{e}_x}(ABCD) = m\ell^2,$$

mentre

$$I_{O, \mathbf{e}_x}(AEFG) = \frac{m\ell^2}{96} + \frac{m\ell^2}{32} = \frac{m\ell^2}{24}$$

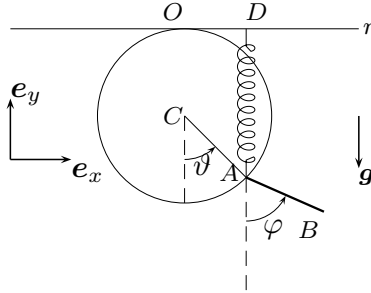
ed

$$I_{O, \mathbf{e}_x}(IHCL) = \frac{m\ell^2}{384} + \frac{9m\ell^2}{128} = \frac{7m\ell^2}{96}$$

per cui, in definitiva

$$I_{O, \mathbf{e}_x}(\text{tot}) = I_{O, \mathbf{e}_x}(ABCD) - I_{O, \mathbf{e}_x}(AEFG) - I_{O, \mathbf{e}_x}(IHCL) = \frac{85}{96}m\ell^2.$$

4. In un piano verticale, un'asta omogenea  $AB$  di massa  $2m$  e lunghezza  $R$  ha l'estremo  $A$  vincolato a muoversi senza attrito su una circonferenza fissa di centro  $C$ , raggio  $R$ , tangente in  $O$  ad una guida orizzontale  $r$ . L'asta è libera di ruotare attorno ad  $A$  che a sua volta è attratto da una forza elastica di costante  $k = mg/2R$  verso il punto  $D \in r$  posto sempre sulla verticale per  $A$ . Introdotte le coordinate  $\vartheta$  e  $\varphi$  indicate in Figura determinare: l'espressione dell'energia cinetica  $T$  di  $AB$ ; l'espressione dell'energia potenziale totale  $V$  del sistema; le pulsazioni  $\omega$  delle piccole oscillazioni in un intorno della configurazione di equilibrio stabile con  $AB$  verticale.



Detto  $G$  il centro di massa dell'asta, l'energia cinetica si esprime come

$$T = mv_G^2 + \frac{m}{12}R^2\dot{\varphi}^2.$$

Introduciamo i versori  $\mathbf{e}_1 := \frac{A-C}{|A-C|}$  ed  $\mathbf{e}_3 := \frac{B-A}{|B-A|}$  ed i versori  $\mathbf{e}_2$  ed  $\mathbf{e}_4$  tali che  $\mathbf{e}_1 \wedge \mathbf{e}_2 = \mathbf{e}_3 \wedge \mathbf{e}_4 = \mathbf{e}_z$ . Osserviamo che la coppia  $\{\mathbf{e}_1, \mathbf{e}_2\}$  ruota con velocità angolare  $\omega_1 = \dot{\vartheta}\mathbf{e}_z$  mentre la coppia  $\{\mathbf{e}_3, \mathbf{e}_4\}$  con velocità angolare  $\omega_3 = \dot{\varphi}\mathbf{e}_z$ . Possiamo allora scrivere

$$G - C = R\mathbf{e}_1 + \frac{R}{2}\mathbf{e}_3$$

e quindi, grazie alle formule di Poisson,

$$\mathbf{v}_G = R(\dot{\vartheta}\mathbf{e}_2 + \frac{\dot{\varphi}}{2}\mathbf{e}_4).$$

Per definizione di  $\mathbf{e}_1$  ed  $\mathbf{e}_3$  abbiamo

$$\mathbf{e}_1 \cdot \mathbf{e}_3 = \cos(\varphi - \vartheta) = \mathbf{e}_2 \cdot \mathbf{e}_4$$

dove l'ultima uguaglianza segue dal fatto che  $\mathbf{e}_2$  ed  $\mathbf{e}_4$  sono mutuamente ortogonali ad  $\mathbf{e}_1$  ed  $\mathbf{e}_3$ . Abbiamo allora

$$v_G^2 = R^2[\dot{\vartheta}^2 + \frac{\dot{\varphi}^2}{4} + \dot{\vartheta}\dot{\varphi}\cos(\varphi - \vartheta)]$$

e quindi

$$T = mR^2[\dot{\vartheta}^2 + \frac{1}{3}\dot{\varphi}^2 + \dot{\vartheta}\dot{\varphi}\cos(\varphi - \vartheta)].$$

Quanto all'energia potenziale, essa consta di due termini, uno dovuto alla forza peso e pari a  $-2mgR(\cos\vartheta + \frac{1}{2}\cos\varphi)$  e l'altro legato alla forza elastica e pari a  $\frac{mgR}{4}(1 + \cos\vartheta)^2$ . In definitiva dunque

$$V = \frac{mgR}{4}(1 + \cos^2\vartheta - 6\cos\vartheta - 4\cos\varphi).$$

Per rispondere all'ultimo quesito determiniamo le configurazioni di equilibrio risolvendo il sistema  $\frac{\partial V}{\partial\vartheta} = \frac{\partial V}{\partial\varphi} = 0$ , cioè a dire

$$\begin{cases} mgR\sin\vartheta[\frac{3}{2} - \frac{1}{2}\cos\vartheta] = 0 \\ mgR\sin\varphi = 0 \end{cases}$$

da cui si ottengono quattro configurazioni di equilibrio, caratterizzate dalle seguenti coppie  $(\vartheta, \varphi)$ :

$$E_1 = (0, 0) \quad E_2 = (0, \pi) \quad E_3 = (\pi, 0) \quad E_4 = (\pi, \pi).$$

Per studiarne la stabilità, calcoliamo le derivate seconde

$$\frac{\partial^2 V}{\partial\vartheta^2} = \frac{mgR}{2}[\cos\vartheta(3 - \cos\vartheta) + \sin^2\vartheta] \quad \frac{\partial^2 V}{\partial\vartheta\partial\varphi} = 0 \quad \frac{\partial^2 V}{\partial\varphi^2} = mgR\cos\varphi$$

in corrispondenza delle configurazioni di equilibrio trovate. L'analisi della forma hessiana consente di concludere che  $E_2$  ed  $E_3$  sono punti di sella mentre  $E_4$  è un massimo di  $V$  e dunque sono configurazioni di equilibrio instabile, per il primo criterio di Ljapunov. Al contrario,  $E_1$  ha forma hessiana

$$B = \begin{pmatrix} mgR & 0 \\ 0 & mgR \end{pmatrix}$$

che è definita positiva e dunque corrisponde ad un punto di minimo relativo isolato per  $V$  ed è stabile grazie al teorema di Dirichlet-Lagrange. La corrispondente forma quadratica  $A$  associata all'energia cinetica è data da

$$A = \begin{pmatrix} 2mR^2 & mR^2 \\ mR^2 & \frac{2}{3}mR^2 \end{pmatrix}.$$

Dopo alcune semplificazioni l'equazione  $\det(\lambda A - B) = 0$  si riduce a

$$\lambda^2 - 8\frac{g}{R}\lambda + 3\frac{g^2}{R^2} = 0$$

che è risolta da

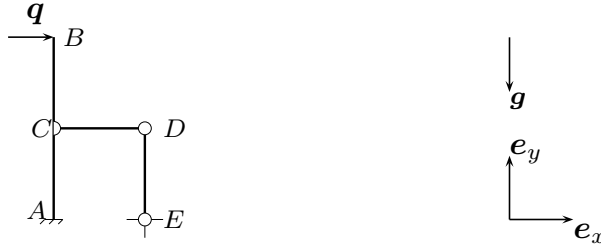
$$\lambda_{\pm} = \left(4 \pm \sqrt{13}\right) \frac{g}{R}$$

cui corrispondono le pulsazioni

$$\omega_{\pm} = \sqrt{\left(4 \pm \sqrt{13}\right) \frac{g}{R}}.$$

**5.** La struttura articolata in Figura è formata da tre aste:  $AB$ , di peso trascurabile e lunghezza  $2\ell$ ,  $CD$  di peso  $3p$  e lunghezza  $\ell$  e  $DE$ , di peso  $2p$  e lunghezza  $\ell$ . La struttura è vincolata a terra in due punti  $A$  ed  $E$  alla stessa quota e distanti  $\ell$  tra loro, con un carrello in  $A$  ed una cerniera in  $E$ . Cerniere interne sono presenti in  $D$  ed in  $C$ , punto medio di  $AB$ . In  $B$  agisce il carico  $\mathbf{q} = 4p\mathbf{e}_x$ .

- 1 Calcolare le componenti lungo  $\mathbf{e}_x$  ed  $\mathbf{e}_y$  della reazione vincolare in  $E$ .
- 2 Calcolare la coppia reattiva  $\psi\mathbf{e}_z$  sviluppata dall'incastro in  $A$ .
- 3 Calcolare il modulo del momento flettente nel punto medio di  $CD$ .



Consideriamo l'equilibrio dell'asta  $DE$  su cui agisce la reazione a terra  $\Phi_E = \phi_{Ex}\mathbf{e}_x + \phi_{Ey}\mathbf{e}_y$ ; il peso  $-2p\mathbf{e}_y$  applicato nel centro di massa e la reazione di cerniera in  $D$ ,  $\Phi_D = \phi_{Dx}\mathbf{e}_x + \phi_{Dy}\mathbf{e}_y$ . L'equilibrio dei momenti in  $D$  richiede  $\phi_{Ex} = 0$  e l'equilibrio delle forze nella direzione  $\mathbf{e}_x$  richiede allora  $\Phi_{Dx} = 0$ . Consideriamo ora l'asta  $CD$  su cui agisce una reazione  $-\Phi_D = -\phi_{Dy}\mathbf{e}_y$ , il peso  $-3p\mathbf{e}_y$  applicato nel suo punto medio e la reazione di cerniera in  $C$ ,  $\Phi_C$ , che può avere solo componente lungo  $\mathbf{e}_y$ , visto che un'eventuale componente lungo  $\mathbf{e}_x$  non potrebbe essere equilibrata: dunque  $\Phi_C = \phi_{Cy}\mathbf{e}_y$ . L'equilibrio dei momenti agenti su  $CD$  rispetto al polo  $C$  impone  $\phi_{Dy} = -\frac{3}{2}p$ . Abbiamo allora  $\Phi_C = \frac{3}{2}p\mathbf{e}_y$  e, tornando all'asta  $DE$  per richiedere l'equilibrio delle forze nella direzione  $\mathbf{e}_y$ ,  $\Phi_E = \frac{7}{2}p\mathbf{e}_y$ . Isoliamo l'asta  $AB$  su cui agisce il carico  $\mathbf{q} = 4p\mathbf{e}_x$ , la reazione in  $A$ ,  $\Phi_A = \phi_{Ax}\mathbf{e}_x + \phi_{Ay}\mathbf{e}_y$ , la coppia reattiva  $\psi\mathbf{e}_z$  sviluppata dall'incastro e la reazione  $-\Phi_C = -\frac{3}{2}p\mathbf{e}_y$  dovuta alla cerniera in  $C$ . L'equilibrio dei momenti rispetto ad  $A$  richiede

$$\psi - 8p\ell = 0$$

per cui  $8p\ell\mathbf{e}_z$  è la coppia reattiva. Infine, spezzando l'asta  $CD$  nel punto medio e considerando il tratto  $CD$ , di peso  $\frac{3}{2}p$  e lunghezza  $\ell/2$ , ricordando il valore di  $\Phi_C$  abbiamo che il momento flettente  $\mathbf{M}_f = M_f\mathbf{e}_z$  nel punto medio di  $CD$  soddisfa l'equazione

$$M_f - \frac{3}{4}p\ell + \frac{3}{8}p\ell = 0$$

e dunque il modulo del momento flettente è  $M_f = \frac{3}{8}p\ell$ .